



การพัฒนาระบบถ่ายภาพมุมสูงควบคุมระยะไกลแบบพวงดัดท้ายรถแทรกเตอร์ ร่วมกับการประยุกต์ใช้เทคนิคการประมวลผลภาพถ่ายดิจิทัล สำหรับการตรวจวัดอัตราการเจริญเติบโตของพืชและปริมาณวัชพืช ในพื้นที่ปลูกถั่วเหลือง

*ดร. เกรียงไกร แซมสีม่วง

ภาควิชาวิศวกรรมเกษตร คณะวิศวกรรมศาสตร์ มหาวิทยาลัยเทคโนโลยีราชมงคลธัญบุรี
39 หมู่ 1 ถนนรังสิต-นครนายก ตำบลคลองหก อำเภอธัญบุรี ปทุมธานี 12110

ผู้เขียนติดต่อ: ดร. เกรียงไกร แซมสีม่วง E-mail: kkriankkai@hotmail.com

บทคัดย่อ

ปัจจุบันเทคนิคการประมวลผลภาพถ่ายทางอากาศในพื้นที่ปลูกถั่วเหลืองสำหรับการทำการเกษตรแบบแม่นยำสูงนั้น มีหลากหลายเทคนิคที่ใช้ในการตรวจวัดอัตราการเจริญเติบโตของพืชและความหนาแน่นของวัชพืช เทคนิคหนึ่งที่น่าสนใจได้แก่การประมวลผลภาพถ่ายจากดาวเทียมซึ่งมีข้อดีคือครอบคลุมพื้นที่กว้าง ทำให้เห็นตำแหน่งที่ชัดเจน แต่ยังมีข้อเสียอยู่กล่าวคือ มีความละเอียดของภาพถ่ายต่ำ เสี่ยงต่อเมฆหมอกปกคลุม และมีค่าใช้จ่ายต่อภาพสูง ดังนั้นผู้วิจัยจึงได้มีแนวคิดที่จะพัฒนาระบบถ่ายภาพมุมสูงควบคุมระยะไกลที่มีความละเอียดของภาพถ่ายสูงไม่มีปัญหาเมฆหมอกปกคลุมแบบพวงดัดท้ายรถแทรกเตอร์ ร่วมกับการประยุกต์ใช้เทคนิคการประมวลผลภาพถ่ายดิจิทัลขึ้น โดยระบบที่พัฒนานี้จะประกอบด้วยกล้องถ่ายภาพดิจิทัลแบบ Near-Infrared bands และแบบ RGB bands ซึ่งมีราคาที่ถูกกว่า โดยที่ตัวกล้องจะติดตั้งระบบกดชัตเตอร์ภาพแบบควบคุมระยะไกลด้วยรีโมทบนคลื่นสัญญาณความถี่ 72 MHz ระบบนี้จะติดตั้งบนปลายชุดครนที่พวงดัดท้ายรถแทรกเตอร์ที่มีความสูงไม่เกิน 15 เมตร ข้อมูลภาพถ่ายที่ได้จะถูกประมวลผลเพื่อตรวจวัดอัตราการเจริญเติบโตของพืชและความหนาแน่นของวัชพืชด้วยโปรแกรมประมวลผลภาพถ่ายที่ออกแบบไว้ด้วยโปรแกรม MATLAB จากนั้นจึงทำการเปรียบเทียบคุณภาพของข้อมูลภาพถ่ายที่ได้จากกล้องทั้งสองชนิด ที่ความสูง 5, 10 และ 15 เมตร ที่อัตราการเจริญเติบโตหลังจากพืชงอก 7, 14, 21 และ 28 days after germinated(DAG)ตามลำดับจากการเปรียบเทียบคุณภาพของข้อมูลภาพถ่ายที่ได้จากปัจจัยดังกล่าวข้างต้น พบว่าคุณภาพข้อมูลภาพถ่ายจากกล้องถ่ายภาพดิจิทัลแบบ Near-Infrared bands ($NIR_{Crane-attached}$) นั้นมีความเหมาะสมในการใช้มากกว่า ข้อมูลภาพถ่ายที่ได้จากกล้องถ่ายภาพดิจิทัลแบบ RGB bands ($RGB_{Crane-attached}$) และยังพบอีกว่าคุณภาพของข้อมูลภาพถ่ายจะเพิ่มสูงขึ้น เมื่อระบบทำการถ่ายภาพที่ระยะความสูงมากขึ้น และที่อัตราการเจริญเติบโตหลังจากพืชงอกเพิ่มมากขึ้น โดยเมื่อเปรียบเทียบค่าใช้จ่ายในการลงทุนแล้ว การใช้กล้องถ่ายภาพดิจิทัลแบบ $RGB_{Crane-attached}$ นั้นสามารถทดแทนกล้องถ่ายภาพดิจิทัลแบบ $NIR_{Crane-attached}$ ได้ที่ระยะความสูงต่ำกว่า 15 เมตร และยิ่งไปกว่านั้นพบว่าโปรแกรมประมวลผลภาพถ่ายที่พัฒนาขึ้นนั้นมีคุณภาพที่สามารถยอมรับได้เมื่อทำการสอบเทียบกับการใช้แรงงานคน และมีความเหมาะสมในการตรวจวัดอัตราการเจริญเติบโตของพืช และความหนาแน่นของวัชพืช ในพื้นที่ปลูกถั่วเหลือง

คำสำคัญ: ระบบถ่ายภาพมุมสูงควบคุมระยะไกล; ประมวลผลภาพถ่ายดิจิทัล; อัตราการเจริญเติบโตหลังจากพืชงอก (DAG); กล้องถ่ายภาพดิจิทัล ($RGB_{Crane-attached}$); กล้องถ่ายภาพคลื่นอินฟราเรด ($NIR_{Crane-attached}$)

1. บทนำ

เทคนิคการประมวลผลภาพถ่ายในการตรวจจับระยะไกลสำหรับการตรวจวัดค่าอัตราการเจริญเติบโตของพืชและค่าความหนาแน่นของวัชพืช เช่น เทคนิคการประมวลผลภาพถ่ายที่ได้จากดาวเทียม เครื่องบิน บอลลูน และเฮลิคอปเตอร์ นั้นได้มีการวิจัยกันมาแล้วมากมาย (Swain และ Jayasuriya, 2007) ยกตัวอย่างเช่น Brown และ Steckler (1995) ได้ใช้เทคนิคการวิเคราะห์ค่าสเปกตรัมของภาพถ่ายทางอากาศที่ทำการถ่ายจากเครื่องบินที่ระดับความสูง 900 เมตร เพื่อนำข้อมูลที่ได้จากการประมวลผลแล้วมาจัดทำเป็นแผนที่การกระจายตัวของวัชพืชในพื้นที่ โดยภาพถ่ายที่ได้มีค่าความละเอียดของภาพอยู่ที่ 10x10 เซนติเมตร ต่อหนึ่งพิกเซล โดยที่เทคนิคการวิเคราะห์ค่าสเปกตรัมของภาพถ่ายทางอากาศนี้มีความเหมาะสมสำหรับการจำแนกวัชพืชตระกูลหญ้า quack grass (*Agropyronrepens*) และหญ้า green foxtail (*SetariaviridisBeauv*) ออกมาในค่าที่ยอมรับได้แต่เมื่อพิจารณาถึงอุปสรรคที่เกิดขึ้นในขณะที่ทำการถ่ายภาพจากเมฆหมอกปกคลุม เวลาที่ใช้ และต้นทุนค่าใช้จ่าย แล้วละก็ เทคนิคการประมวลผลภาพถ่ายที่ได้จากระบบถ่ายภาพมุมสูงควบคุมระยะไกลที่ระดับความสูงไม่เกิน 100 เมตร เป็นอีกหนึ่งทางเลือกที่ได้มีการเริ่มใช้กัน (Swain et al., 2007) ได้มีนักวิจัยหลายท่านที่ได้ทำการวิจัยเกี่ยวกับเทคนิคการประมวลผลภาพถ่ายจากกล้องดิจิตอล (Stafford และ Benloch, 1997; Tillet et al., 1996; Franz และ Armanini, 1995; Chaisattapagon และ Zhang, 1995; Andreasen และ Arndt 1997; Tongwangkit et al., 2006; Samseemoung et al., 2011 และ 2012) โดยเทคนิคการประมวลผลภาพถ่ายจากกล้องดิจิตอลทั้งแบบ Near-Infrared bands และแบบ RGB bands นั้นจะมีขั้นตอนการประมวลผลโดยจะเริ่มจากการจำแนกวัตถุที่เป็นพืชสีเขียวออกจากพื้นหลังหรือดินนั่นเอง โดยการ segment ภาพถ่ายนี้จะใช้คุณสมบัติของการสะท้อนแสงของใบพืชเป็นหลัก ขั้นตอนต่อมา จะทำการคำนวณพื้นที่ลักษณะของพืชและวัชพืชเพื่อจำแนกลักษณะออกมา

งานวิจัยนี้จะทำการออกแบบและสร้างระบบถ่ายภาพมุมสูงที่ประกอบด้วยกล้องถ่ายภาพดิจิตอลแบบ

Near-Infrared bands และแบบ RGB bands ซึ่งมีราคาที่ถูกกว่า โดยที่ตัวกล้องจะติดตั้งระบบกดชัตเตอร์ภาพแบบควบคุมระยะไกล ด้วยรีโมทแบบคลื่นสัญญาณความถี่ 72 MHz ขึ้นมา โดยระบบนี้จะติดตั้งอยู่บนปลายชุดเครื่องบินที่พุ่งติดท้ายรถแทรกเตอร์ระดับความสูง 15 เมตร เพื่อทำการถ่ายภาพมุมสูง โดยข้อมูลภาพถ่ายที่ได้จะถูกประมวลผลเพื่อตรวจวัดอัตราการเจริญเติบโตของพืช และความหนาแน่นของวัชพืช ด้วยโปรแกรมประมวลผลภาพถ่ายที่ออกแบบไว้ (IPAS) โดยใช้คำสั่งมาตรฐานตามโปรแกรม MATLAB จากนั้นจึงทำการเปรียบเทียบคุณภาพของข้อมูลภาพถ่ายมุมสูงที่ได้จากกล้องทั้งสองชนิด ที่ระดับความสูง และอัตราการเจริญเติบโตหลังจากพืชงอกแตกต่างกันตามลำดับ โดยมีวัตถุประสงค์ของงานวิจัยดังนี้

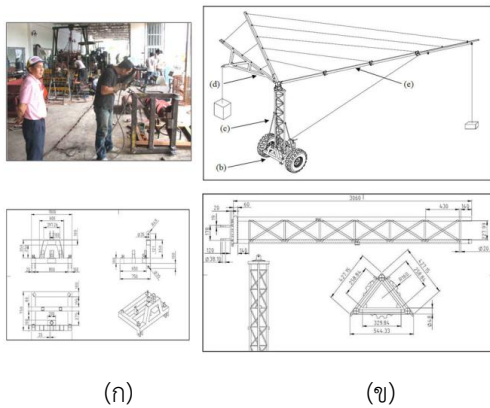
1. ออกแบบและสร้างชุดเครื่องบินแบบพุ่งติดท้ายรถแทรกเตอร์ในราคาถูก
2. ทำการออกแบบและสร้างระบบถ่ายภาพมุมสูงแบบควบคุมระยะไกลรวมกับการใช้เทคนิคด้านการประมวลผลภาพถ่ายดิจิตอล เพื่อเพิ่มความแม่นยำในการตรวจวัดอัตราการเจริญเติบโตของพืช ปริมาณวัชพืช ในพื้นที่ปลูกถั่วเหลือง
3. ทำการออกแบบอัลกอริธึม และพัฒนาระบบซอฟต์แวร์ประมวลผลภาพถ่ายมุมสูง ที่สามารถทำการวิเคราะห์ภาพถ่าย โดยจะแยกเอาข้อมูลวัตถุที่สนใจออกจากภาพพื้นหลัง (Background)
4. ทำการจัดทำแผนที่ประยุกต์ทางการเกษตร ที่สอดคล้องกับระบบที่จะพัฒนาและข้อมูลที่จัดบันทึกจากข้อ 2 และ 3 ตามลำดับเพื่อเพิ่มประสิทธิภาพการบริหารจัดการการใช้ปุ๋ย สารเคมี และลดความเสียหายที่เกิดจากการระบาดของโรคพืชในพื้นที่ปลูกถั่วเหลือง แบบทันทีทันใด

2. อุปกรณ์และวิธีการ

2.1 การออกแบบและสร้างชุดเครื่องบินแบบพุ่งติดท้ายรถแทรกเตอร์

จากการศึกษาข้อมูลที่เกี่ยวข้อง เช่น ระดับความสูงที่ต้องการ น้ำหนักรวม กลไกการทำงานสามารถทำงานได้ง่ายไม่ซับซ้อน และผู้ปฏิบัติงานสามารถปฏิบัติงานได้สะดวก มีความปลอดภัย จึงได้ดำเนินการออกแบบ และสร้างชุดเครื่องบินแบบพุ่งติดท้ายรถแทรกเตอร์ขึ้นมาประกอบด้วยส่วนประกอบหลักๆ 5 ส่วนด้วยกันดังนี้คือฐานของชุดเครื่องบิน

ต่อพ่วงกับรถแทรกเตอร์ชุดเสาของเครื่องบินชุดแขนลูกชุดแขน
เครื่องบิน และชุดแขนหมุนสลิงของเครื่องบินตามลำดับ จากนั้นจึง
ดำเนินการสร้าง ณ อาคารปฏิบัติการวิศวกรรมเครื่องจักรกล
เกษตร ภาควิชาวิศวกรรมเกษตร คณะวิศวกรรมศาสตร์
มหาวิทยาลัยเทคโนโลยีราชมงคลธัญบุรี โดยชุดเครื่องบินมีความ
ความสูง 3.50 เมตรและมีขนาดความยาวของแขนเครื่องบิน 12
เมตร สามารถทำการถ่ายภาพที่ระดับความสูงได้ 15 เมตร
ดังรูปที่ 1



รูปที่ 1 การออกแบบสร้างชุดโครงสร้างเครื่องบินแบบพ่วงติดท้ายรถ
แทรกเตอร์ (ก): แสดงการเชื่อมชิ้นรูปชุดฐานเครื่องบิน และ (ข):
แสดงภาพประกอบเต็มชุดเครื่องบิน

2.2 การออกแบบและสร้างระบบถ่ายภาพมุมสูงแบบ ควบคุมระยะไกล

ระบบถ่ายภาพมุมสูงควบคุมระยะไกลแบบพ่วงติด
ท้ายรถแทรกเตอร์ โดยการทำงานของกล้องนั้นจะควบคุม
การกดชัตเตอร์ที่พื้นดินด้านล่างแบบควบคุมระยะไกล ด้วย
รีโมทแบบคลื่นสัญญาณความถี่ 72 MHz ที่มีระยะควบคุม
การทำงาน 400 เมตร ขึ้นมา โดยระบบนี้จะติดตั้งอยู่บน
ปลายชุดเครื่องบินที่พ่วงติดท้ายรถแทรกเตอร์ระดับความสูง 15
เมตร เพื่อทำการถ่ายภาพมุมสูง

รายละเอียดส่วนประกอบของระบบถ่ายภาพมุมสูง
ควบคุมระยะไกลแบบพ่วงติดท้ายรถแทรกเตอร์ ดังรูปแสดง
ด้านล่างนี้ จะประกอบด้วยกล้องดิจิทัลแบบธรรมดา (True
color (R-G-B) digital camera photography (Canon
Co. Ltd.)) กล้องดิจิทัลแบบถ่ายภาพในช่วงคลื่นใกล้
อินฟราเรด (Color-infrared (CIR) digital (G-R-NIR)
photography (ADCTetracam Inc.)) ชุดรีโมทควบคุมการ
กดชัตเตอร์ภาพระยะไกล (Wireless trigger control

(Jelsoft Enterprises Ltd.)) ชุดอุปกรณ์วัดระดับความสูง
(Altitude sensor (Seagull Wireless Dashboard Flight
System FCC 900 MHz version; Jelsoft Enterprises
Ltd.))



รูปที่ 2 การออกแบบสร้างระบบถ่ายภาพมุมสูงควบคุมระยะไกลแบบ
พ่วงติดท้ายรถแทรกเตอร์ (ก): แสดงการติดตั้งระบบและชุด
ถ่ายภาพควบคุมระยะไกล และ (ข): แสดงส่วนประกอบของ
ระบบถ่ายภาพระยะไกล

2.3 การเตรียมแปลงทดสอบ

แปลงทดสอบนี้ตั้งอยู่ที่พิกัดละติจูด 14.03 องศา
เหนือ (Latitude 14.03 °N) และลองจิจูดที่ 100.61 องศา
ตะวันออก (Longitude 100.61 °E) ในอำเภอคลองหลวง
จังหวัดปทุมธานี โดยพื้นที่ปลูกถั่วเหลืองนี้จะปลูกเป็นพื้นที่
ทั้งหมด 40x40 เมตร ที่มีระยะห่างระหว่างแถว 0.5 เมตร
ต่อจากนั้นทำการแบ่งพื้นที่แปลงปลูกนี้ออกเป็นตารางกริด
โดยมีระยะห่างระหว่างกริด 5x5 เมตรการใส่ปุ๋ยนั้นจะใส่ปุ๋ย
สูตร 20-20-0 ในอัตรา 25-30 กิโลกรัม/ไร่ และปล่อยให้
วัชพืชเจริญเติบโตในบริเวณระหว่างแถวถั่วเหลืองนั้นตาม
ธรรมชาติ โดยคุณสมบัติทั้งทางเคมีและทางกายภาพของดิน
ในแปลงทดสอบนั้น ข้อมูลทั้งหมดแสดงไว้ในตารางที่ 1

ตารางที่ 1 คุณสมบัติทางเคมีและทางกายภาพของดินในพื้นที่แปลง
ปลูกถั่วเหลือง

| ความลึก ของดิน (ซม.) | ระดับความ เป็น กรด ด่าง | ลักษณะเนื้อดิน | | | อินทรีย์ วัตถุ (%) | ความถ่วงจำเพาะ (g/cm ³) | ความหนาแน่น มวลรวมสภาพ แห้ง (g/cm ³) | ความชื้น (%) |
|----------------------------|-------------------------------|----------------|--------------------------|------------------|--------------------------|--|---|-----------------|
| | | ดินทราย (%) | ดินเหนียว แป้ง (%) | ดินเหนียว (%) | | | | |
| 0-20 | 4.7 | 15 | 30 | 55 | 1.54 | 2.42 | 1.37 | 22.19 |

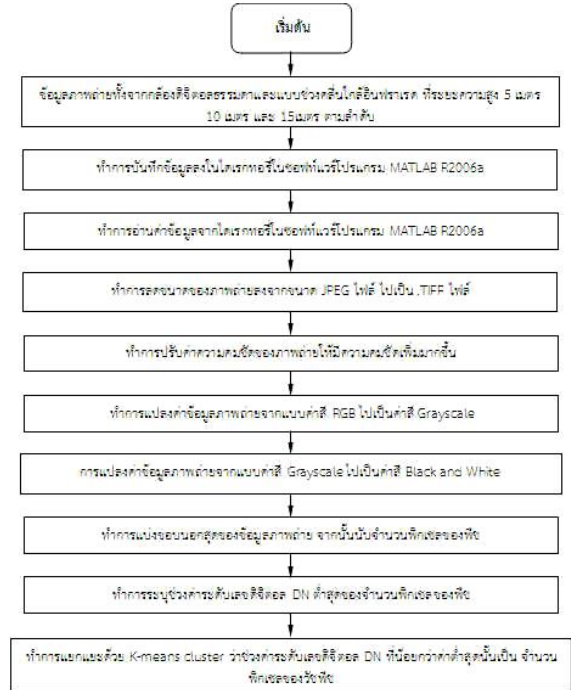


(ก) (ข)

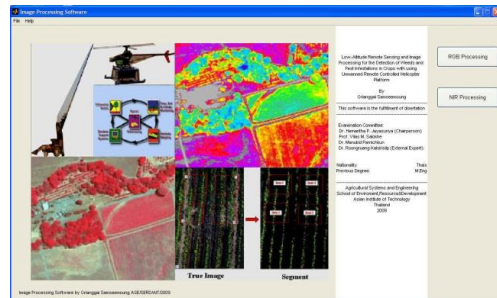
รูปที่ 3 การเตรียมแปลงทดสอบ (ก): แสดงการเตรียมแปลงปลูกถั่วเหลือง และ (ข): แสดงระยะการเจริญเติบโตของถั่วเหลือง

2.4 การออกแบบอัลกอริธึมและพัฒนาระบบซอฟต์แวร์ประมวลผลภาพถ่ายมุมสูง

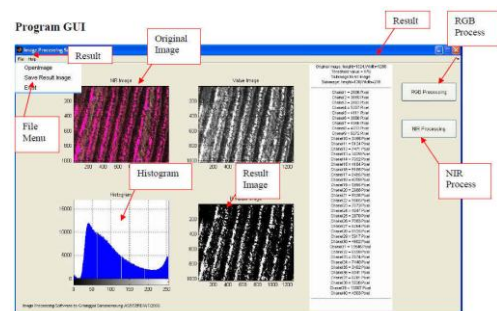
ภาพรวมของระบบ โปรแกรมที่พัฒนาจะทำการดึงข้อมูลภาพจากฐานข้อมูล (Database) โดยที่ผู้ใช้สามารถที่จะทำการ เลือกข้อมูลภาพได้โดยที่ตัวโปรแกรมจะทำการตรวจสอบจำนวนพิกซ์โดยวิธีการแบ่งพื้นที่ออกเป็นส่วนย่อยๆ (Sub image) แล้วทำการตรวจจับพิกซ์พื้นที่สีเขียวเพื่อหาจำนวนต่อพื้นที่ ความสามารถของโปรแกรม 1) โปรแกรมสามารถดึงข้อมูลจากฐานข้อมูลมาเพื่อแสดงผลออกทางหน้าต่างของโปรแกรมและทำการประมวลผลภาพรวมถึงการแสดงผลออกทางหน้าต่างของโปรแกรมเพื่อแจ้งให้ระบบทราบถึงข้อมูลพิกซ์พื้นที่สีเขียวที่ทำการตรวจจับ 2) โปรแกรมจะต้องสามารถทำการเปลี่ยนแม่แบบสีจากภาพสีเป็นภาพโทนขาวดำได้ 3) โปรแกรมจะต้องมีความสามารถในการบันทึกข้อมูลรูปภาพที่กระทำการประมวลผลแล้วลงฮาร์ดดิสก์ได้(Gray image, Bimodal image) ดังรูปที่ 4



รูปที่ 4 อัลกอริธึมการทำงานของซอฟต์แวร์ประมวลผลภาพถ่าย (IPAS)



รูปที่ 5 หน้าต่างเริ่มต้นการทำงานของซอฟต์แวร์ประมวลผลภาพถ่าย (IPAS)



รูปที่ 6 ปุ่มฟังก์ชันและความหมายการทำงานของซอฟต์แวร์ประมวลผลภาพถ่าย (IPAS)

2.5 การสอบเทียบข้อมูลที่ได้จากระบบที่ออกแบบไว้กับข้อมูลที่เก็บได้จากแรงงานคน

สำหรับการสอบเทียบการประมวลผลภาพถ่าย จะมีวิธีการสอบเทียบที่สามารถที่จะกระทำได้โดยการเซทพื้นที่ ขนาดหนึ่งตารางเมตรแล้วโปรยขึ้นไม้ที่ทาสีแดงเอาไว้ จำนวนหนึ่งร้อยชิ้นคิดเป็นหนึ่งร้อยเปอร์เซ็นต์ ทำการ ทดสอบที่ระดับความสูงแตกต่างกัน 5 10 และ 15 เมตร และ วิธีการที่แตกต่างกัน ได้แก่ ข้อมูลภาพถ่ายจากกล้อง ถ่ายภาพดิจิทัลแบบ Near-Infrared bands ($NIR_{Crane-attached}$) และข้อมูลภาพถ่ายที่ได้จากกล้องถ่ายภาพดิจิทัล แบบ RGB bands ($RGB_{Crane-attached}$)

2.6 การจัดทำแผนที่ประยุกต์ทางการเกษตร

ในส่วนของการจัดทำออกมาเป็นแผนที่ประยุกต์ ทางการเกษตรนั้น จะต้องทำการแบ่งพื้นที่ออกเป็นจุด โดยมีระยะห่างแต่ละจุดนั้นเท่ากัน ต่อจากนั้นนำ ข้อมูลภาพถ่ายที่ได้จากระบบที่ออกแบบไว้มาประมวลผล เพื่อตรวจวัดหาค่าอัตราการเจริญเติบโตของพืช และค่า ความหนาแน่นของวัชพืช พร้อมทั้งทำการจดบันทึกค่า พิกัดตำแหน่งของแต่ละจุดด้วย ต่อจากนั้นนำข้อมูล เหล่านี้เข้าสู่โปรแกรมจัดทำออกมาเป็นแผนที่ประยุกต์ ทางการเกษตรต่อไป

3. ผลและวิจารณ์

3.1 การสอบเทียบข้อมูลที่ได้จากระบบที่ออกแบบไว้กับ ข้อมูลที่เก็บได้จากแรงงานคน

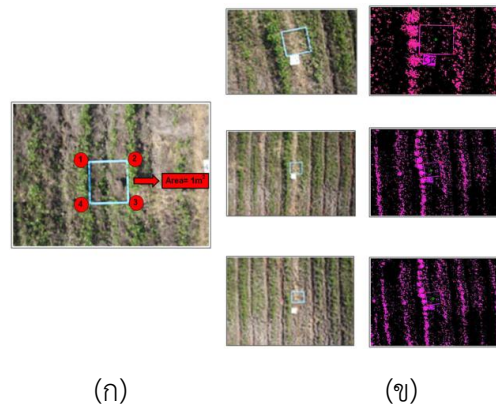
คุณภาพที่สามารถยอมรับได้ของการสอบเทียบการ ประมวลผลภาพถ่ายทางอากาศ ที่มีลักษณะที่แตกต่างกัน ของระดับความสูง และชนิดของกล้องหรือระบบถ่ายภาพ ทางอากาศ วิธีการสอบเทียบสามารถกระทำได้โดยการเซท พื้นที่ขนาดหนึ่งตารางเมตรแล้วโปรยขึ้นไม้ที่ทาสีแดงเอาไว้ จำนวนหนึ่งร้อยชิ้นคิดเป็นหนึ่งร้อยเปอร์เซ็นต์ ทำการ ทดสอบที่ระดับความสูงแตกต่างกันและวิธีการที่แตกต่างกัน ดังแสดงในตารางตารางที่ 2 โดยจะพบว่าจากการสอบเทียบ นั้นที่ระดับความสูง 5 เมตร พบว่าข้อมูลภาพถ่ายทางอากาศ จากข้อมูลภาพถ่ายจากกล้องถ่ายภาพดิจิทัลแบบ Near-Infrared bands ($NIR_{Crane-attached}$) นั้นมีจำนวนเปอร์เซ็นต์ ของขึ้นไม้ที่ตรวจจับได้สูงที่สุดคือ 82.86% จำนวน

เปอร์เซ็นต์ของขึ้นไม้จากข้อมูลภาพถ่ายที่ได้จากกล้อง ถ่ายภาพดิจิทัลแบบ RGB bands ($RGB_{Crane-attached}$) พบว่า มีค่าดังนี้ 69.04% ต่อไปที่ระดับของความสูง 10 และ 15 เมตรพบว่าจำนวนเปอร์เซ็นต์ของขึ้นไม้ของ $NIR_{Crane-attached}$ และ $RGB_{Crane-attached}$ ลดลงโดยมีค่าเท่ากับ 73.80%-74.76% และ 68.57%-71.43% ตามลำดับ ดังนั้นจะพบว่า $NIR_{Crane-attached}$ นั้นมีความเหมาะสมเป็นอย่างมาก

ตารางที่ 2 ข้อมูลการสอบเทียบระหว่างระบบที่ออกแบบไว้กับข้อมูล จากแรงงานคน (Average illumination during observations: Red=1650 $\mu\text{mol m}^{-2} \text{s}^{-1}$ and NIR=1050 $\mu\text{mol m}^{-2} \text{s}^{-1}$ at 12.00 hrs.)

| ชนิดของระบบ ตรวจจับข้อมูล | ระดับความสูง (เมตร) | | |
|---|---------------------|--------------------|--------------------|
| | 5 | 10 | 15 |
| แรงงานคน | 100 | 100 | 100 |
| กล้องดิจิทัลแบบ $RGB_{Crane-attached}$ | 69.04 ^a | 71.43 ^a | 68.57 ^a |
| กล้องดิจิทัลแบบ $NIR_{Crane-attached}$ | 82.86 ^c | 73.80 ^b | 74.76 ^b |

Means for each characteristic followed by the same column are not significantly different at $P < 0.05$ by Duncan's Multiple Range test



รูปที่ 7 การสอบเทียบข้อมูลที่ได้จากระบบที่ออกแบบไว้กับข้อมูลที่ เก็บได้จากแรงงานคน (ก): ข้อมูลภาพถ่ายที่ได้จากกล้อง ถ่ายภาพดิจิทัลแบบ RGB bands (ข): ข้อมูลภาพถ่ายจาก กล้องถ่ายภาพดิจิทัลแบบ Near-Infrared bands

ตารางที่ 3 ระดับความสว่างตามช่วงเวลา เป็นชั่วโมง

| ช่วงเวลากลางวัน (ชั่วโมง) | ระดับค่าความสว่าง ($\mu\text{mol m}^{-2} \text{s}^{-1}$) | |
|------------------------------|--|----------------------|
| | ช่วงค่าสีแดง | ช่วงค่าใกล้อินฟราเรด |
| 09.00 | 900 | 600 |
| 11.00 | 1400 | 800 |
| 13.00 | 1800 | 1200 |
| 15.00 | 1200 | 800 |
| 17.00 | 300 | 280 |

3.2 การหาค่าเปอร์เซ็นต์ความหนาแน่นของพืชและ วัชพืชที่ระดับความสูงและจำนวนวันพืชงอกที่ต่างกัน

ระบบถ่ายภาพแบบควบคุมระยะไกลที่ได้ออกแบบ และพัฒนาขึ้นมา เป็นระบบที่ประกอบด้วย กล้องถ่ายภาพ ช่วงคลื่น สีแดง สีเขียว และสีน้ำเงิน (RGB) และกล้องถ่ายภาพช่วงคลื่นใกล้อินฟราเรด (Near Infrared) แบบติดตั้งบนเครื่องบิน เป็นแนวทางใหม่ในการได้มาซึ่ง ภาพถ่ายมุมสูงซึ่งจะนำมาแปรผลในการหาค่าของความหนาแน่นของพืช และวัชพืช ในแปลงปลูกถั่วเหลือง ดังนั้นจะเห็นได้ว่าทั้งคุณภาพและประสิทธิภาพของระบบนั้น สามารถที่จะทราบได้จาก จำนวนค่าเปอร์เซ็นต์ของความหนาแน่นของพืช และวัชพืช ตามลำดับ

จากข้อมูลแสดงในตารางด้านล่างนี้ เป็นข้อมูลที่ได้มาจากการทดสอบระบบที่ระดับความสูง 5 เมตร 10 เมตร และ 15 เมตร ตามลำดับ ที่ระยะเวลาหลังจากวันที่พืชงอก 7, 14, 21 และ 28 days after germinated (DAG) โดยจะใช้กล้อง 2 แบบ ได้แก่ กล้องถ่ายภาพช่วงคลื่น สีแดง สีเขียว และสีน้ำเงิน (RGB_{Crane-attached}) และกล้องถ่ายภาพช่วงคลื่นใกล้อินฟราเรด (NIR_{Crane-attached}) จากการวิเคราะห์ทางสถิติ (ANOVA) ที่ระยะเวลาหลังจากวันที่พืชงอกแล้ว 7 วัน (7 DAG) ที่ระดับความสูง 5 เมตร 10 เมตร และ 15 เมตรตามลำดับ พบว่า มีค่าเปอร์เซ็นต์ความหนาแน่นของพืชอยู่ที่ 40.97%, 35.29%, และ 37.47% ตามลำดับ สำหรับระบบ NIR_{Crane-attached} และสำหรับระบบ RGB_{Crane-attached} มีค่าเปอร์เซ็นต์ความหนาแน่นของพืชอยู่ที่ 11.09%, 19.32%, และ 26.89% ตามลำดับ

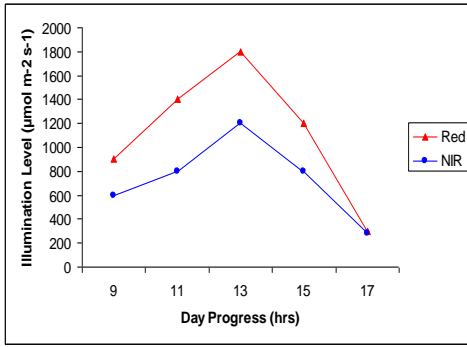
และยังพบอีกว่าที่ระยะเวลาหลังจากวันที่พืชงอกแล้ว 7 วัน (7 DAG) ที่ระดับความสูง 5 เมตร 10 เมตร และ 15 เมตรตามลำดับ พบว่า มีค่าเปอร์เซ็นต์ความหนาแน่นของวัชพืชอยู่ที่ 23.27%, 25.20% และ 35.49% ตามลำดับ สำหรับระบบ NIR_{Crane-attached} และสำหรับระบบ RGB_{Crane-attached} มีค่าเปอร์เซ็นต์ความหนาแน่นของพืชอยู่ที่ 5.67%, 6.49% และ 7.47% ตามลำดับ ซึ่งแนวโน้มจำนวนค่าเปอร์เซ็นต์ความหนาแน่นของพืช และวัชพืช ที่ระยะเวลาหลังจากวันที่พืชงอกแล้ว 14 DAG และ 21 DAG นั้นมีค่าเพิ่มสูงขึ้น โดยจากการทดสอบพบว่า ระบบ NIR_{Crane-attached}

นั้นมีความเหมาะสมมากกว่าระบบ RGB_{Crane-attached} และใน ส่วนของข้อมูลค่าเปอร์เซ็นต์ความหนาแน่นของพืช ที่ระยะเวลาหลังจากวันที่พืชงอกแล้ว 28DAG จะพบว่า ระบบ NIR_{Crane-attached} จะอยู่ที่ 51.44%, 58.81% และ 63.50% ตามลำดับ และในส่วนของระบบ RGB_{Crane-attached} มีค่าเปอร์เซ็นต์ความหนาแน่นของพืชอยู่ที่ 36.24%, 36.02%, และ 42.59% ตามลำดับ และมีค่าเปอร์เซ็นต์ความหนาแน่นของวัชพืชอยู่ที่ 37.06%, 37.70%, 39.11% และ 26.38%, 29.64%, 32.53% ตามลำดับ

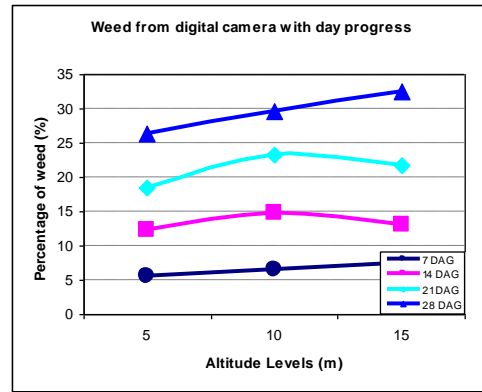
ตารางที่ 4 เปอร์เซ็นต์ความหนาแน่นของพืช และวัชพืช ที่ได้จากการทดสอบโดยใช้กล้องแบบ RGB_{Crane-attached} และแบบ NIR_{Crane-attached} ที่ระดับความสูง 5, 10, 15 เมตรและช่วงเวลาหลังจากการงอก 7, 14, 21, 28DAG (Average illumination during observations: Red=1650 $\mu\text{mol m}^{-2} \text{s}^{-1}$ and NIR=1050 $\mu\text{mol m}^{-2} \text{s}^{-1}$ at 12.00 hrs.)

| ระยะเวลา หลังจาก วันที่พืช งอก (DAG) | ระดับ ความ สูง (เมตร) | จำนวนค่า เปอร์เซ็นต์ ความ หนาแน่น ของพืช RGB _{Crane- attached} (%) | จำนวนค่า เปอร์เซ็นต์ ความ หนาแน่น ของพืช NIR _{Crane- attached} (%) | จำนวนค่า เปอร์เซ็นต์ ความ หนาแน่น ของวัชพืช RGB _{Crane- attached} (%) | จำนวนค่า เปอร์เซ็นต์ ความ หนาแน่น ของวัชพืช NIR _{Crane- attached} (%) |
|--|--------------------------------|---|---|--|--|
| 7 DAG | 5 | 11.09 ^a | 40.97 ^e | 5.67 ^a | 23.27 ^b |
| | 10 | 19.32 ^b | 35.29 ^d | 6.49 ^a | 25.20 ^b |
| | 15 | 26.89 ^c | 37.47 ^e | 7.47 ^a | 35.49 ^c |
| 14 DAG | 5 | 18.89 ^a | 43.96 ^b | 12.27 ^a | 20.04 ^b |
| | 10 | 19.92 ^a | 46.34 ^c | 14.74 ^a | 25.13 ^c |
| | 15 | 20.03 ^a | 44.04 ^b | 13.15 ^a | 24.09 ^c |
| 21 DAG | 5 | 26.37 ^a | 48.78 ^d | 18.49 ^a | 33.07 ^c |
| | 10 | 30.17 ^b | 46.01 ^c | 23.31 ^b | 30.88 ^c |
| | 15 | 31.23 ^b | 44.52 ^c | 21.71 ^b | 37.98 ^d |
| 28 DAG | 5 | 36.24 ^a | 51.44 ^c | 26.38 ^a | 37.06 ^c |
| | 10 | 36.02 ^a | 58.81 ^d | 29.64 ^b | 37.70 ^c |
| | 15 | 42.59 ^b | 63.50 ^d | 32.53 ^b | 39.11 ^d |

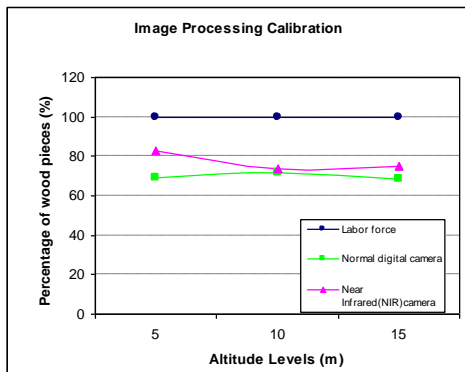
Means for each characteristic followed by the same column are not significantly different at P<0.05 by Duncan's Multiple Range test



(ก)

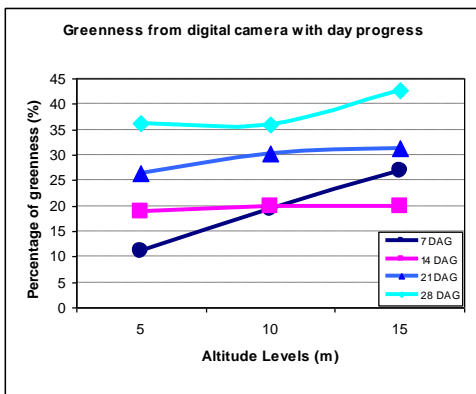


(ง)



(ข)

รูปที่ 8 (ก) แสดงค่าระดับความสว่างของแสงที่แปรผันตามเวลาช่วงวัน และ (ข) แสดงการสอบเทียบการประมวลผลภาพถ่ายที่แปรผันตามระดับความสูง (เมตร)

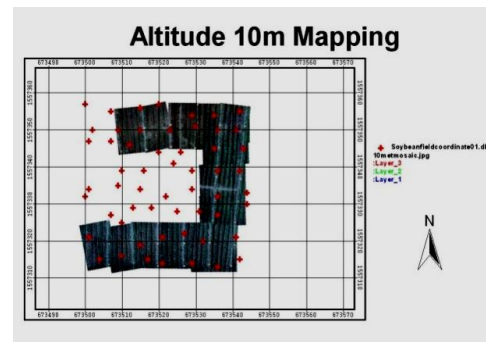


(ค)

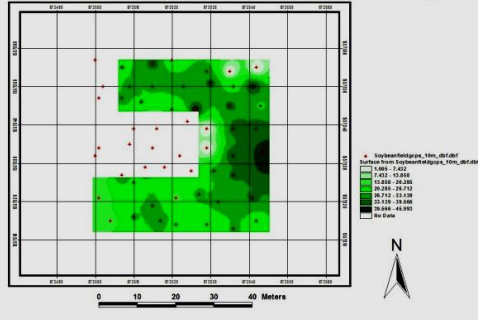
รูปที่ 9 (ค) แสดงข้อมูลจำนวนค่าเปอร์เซ็นต์ความหนาแน่นของพืชที่แปรผันตามระดับความสูง (เมตร) และที่ระยะเวลาหลังจากวันที่พืชงอก และ (ง) แสดงข้อมูลจำนวนค่าเปอร์เซ็นต์ความหนาแน่นของวัชพืชที่แปรผันตามระดับความสูง (เมตร) และที่ระยะเวลาหลังจากวันที่พืชงอก ตามลำดับ

3.3 การจัดทำแผนที่ประยุกต์ทางการเกษตร

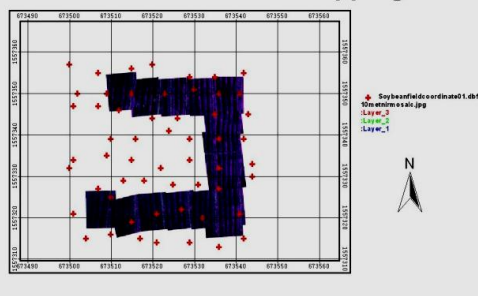
แผนที่ประยุกต์ทางการเกษตรที่จัดทำขึ้นมานี้จะประกอบไปด้วย ข้อมูลของพิกัดตำแหน่งบนพื้นผิวโลก และข้อมูลจำนวนค่าเปอร์เซ็นต์ความหนาแน่นของพืช และวัชพืช ขั้นตอนการสร้างแผนที่ทางการเกษตรนั้น จะเริ่มจากการนำภาพถ่ายมุมสูงแต่ละเฟรมภาพที่ได้ทำการแบ่งกริดพื้นที่ ระยะห่าง 5x5 เมตร นำมาต่อกันเป็นภาพใหญ่ จากนั้นที่แต่ละกริดหรือบริเวณใกล้เคียงจะต้องทำการประมวลผลภาพเพื่อคำนวณหาค่าค่าเปอร์เซ็นต์ความหนาแน่นของพืชและวัชพืช จากนั้นนำข้อมูลทั้งหมดเข้าสู่โปรแกรม ArcView GIS เพื่อทำการสร้างออกมาเป็นแผนที่ทางการเกษตร ดังแสดงในรูปด้านล่างนี้



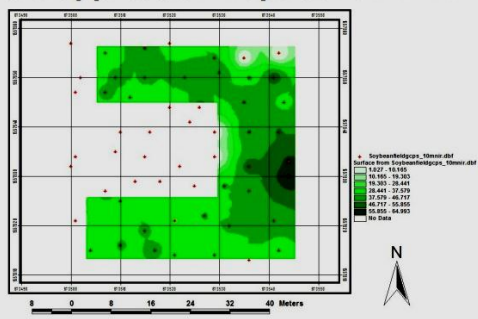
(ก)

GIS application maps at 10m Digital

(ข)

Altitude 10m NIR Mapping

(ค)

GIS application maps at 10 m NIR

(ง)

รูปที่ 10 แผนที่แบบ GIS application maps เหมาะสำหรับเป็นข้อมูลในการเฝ้าระวังดูแลรักษา การเจริญเติบโตของพืชในแปลงการเกษตรและประยุกต์ใช้คู่กับการฉีดพ่นสารเคมีในปริมาณที่เหมาะสมต่อความหนาแน่นของวัชพืชหรือโรคพืช พบว่า (ก) ภาพจากระบบ RGB_{Crane-attached} ที่ระดับความสูง 10 เมตรนำมาประกอบกันเป็นภาพใหญ่ (ข) ภาพที่ประมวลผลแล้วที่ระดับความสูง 10 เมตร (ค) ภาพจากระบบ NIR_{Crane-attached} ที่ระดับความสูง 10 เมตรนำมาประกอบกันเป็นภาพใหญ่และ (ง) ภาพที่ประมวลผลแล้วที่ระดับความสูง 10 เมตร

4. สรุปผลการวิจัย

จากจำนวนค่าเปอร์เซ็นต์ความหนาแน่นของพืชและวัชพืช จากระบบ NIR_{Crane-attached} นั้นจะมีค่าสูงกว่าระบบ RGB_{Crane-attached} เมื่อทำการเปรียบเทียบที่ระดับความสูง และที่ระยะเวลาหลังจากวันที่พืชงอกแล้ว ที่แตกต่างกัน โดยพบว่าปัจจัยที่มีผลต่อคุณภาพของระบบได้แก่ ระดับความสว่างของแสง ระดับความสูง และสภาวะการสั่นสะเทือนที่มาจาก ความเร็วลม และทักษะการควบคุมเครื่อง

เมื่อทำการเปรียบเทียบในแง่ของความเหมาะสมในการใช้ จะพบว่า ระบบ NIR_{Crane-attached} นั้นจะมีค่าสูงกว่าระบบ RGB_{Crane-attached} และจะมีค่าเพิ่มมากขึ้นเมื่อทดสอบที่ระดับความสูงเพิ่มสูงขึ้น ที่ระยะเวลาหลังจากวันที่พืชเริ่มงอก 7 ถึง 14 DAG

เมื่อทำการเปรียบเทียบกับ การสอบเทียบโดยแรงงานคนแล้ว จะพบว่า จำนวนค่าเปอร์เซ็นต์ความหนาแน่นของวัชพืช จากระบบ NIR_{Crane-attached} และระบบ RGB_{Crane-attached} นั้นจะมีค่าเพิ่มมากขึ้น ที่ระดับความสูง 5 เมตรขึ้นไป

ที่ระยะเวลาหลังจากวันที่พืชเริ่มงอก 28 DAG เราพบว่าจำนวนค่าเปอร์เซ็นต์ความหนาแน่นของพืช จากระบบ NIR_{Crane-attached} จะมีค่าสูงกว่าระบบ RGB_{Crane-attached} ประมาณ 51.44% ถึง 63.50% ต่อ 36.02% ถึง 42.59% ตามลำดับ และยังพบอีกว่าจำนวนค่าเปอร์เซ็นต์ความหนาแน่นของวัชพืช จากระบบ NIR_{Crane-attached} จะมีค่าสูงกว่าระบบ RGB_{Crane-attached} ประมาณ 37.06% ถึง 39.11% ต่อ 26.38% ถึง 32.53% ตามลำดับ

ในส่วนของคุณภาพของระบบที่ยอมรับได้จากซอฟต์แวร์ประมวลผลภาพถ่ายที่พัฒนาขึ้น เมื่อทำการเปรียบเทียบกับ การสอบเทียบแล้ว พบว่ามีค่าที่สามารถยอมรับได้

5. ข้อเสนอแนะ

งานวิจัยนี้สามารถที่จะเป็นฐานข้อมูลเพื่อใช้ในการต่อยอดในการนำเอาเทคโนโลยีอิเล็กทรอนิกส์บังคับวิทยุ เข้ามาประยุกต์ใช้ในการเก็บข้อมูลภาพถ่ายมุมสูงได้ และที่ระดับความสูง 5 เมตร ผู้วิจัยท่านอื่นสามารถที่จะนำกล้องแบบ Web-cam มาประยุกต์ใช้แทนกล้องที่มีราคาสูงได้



6. กิตติกรรมประกาศ

ผู้วิจัยขอขอบคุณ ศูนย์เทคโนโลยีอัจฉริยะ CITAA และสาขาวิชา วิศวกรรมเครื่องจักรกลเกษตร ภาควิชา วิศวกรรมเกษตร คณะวิศวกรรมศาสตร์ มหาวิทยาลัย เทคโนโลยีราชมงคลธัญบุรี ที่สนับสนุนอุปกรณ์ บุคลากร และสถานที่ ในการเตรียมการทดสอบ

7. เอกสารอ้างอิง

- [1] Andreasen, N.C., and Arndt, (1997). A magnetic resonance imaging study of thalamic area in adolescent patients with either schizophrenia or bipolar disorder as compared to healthy controls. *Psychiatry Research: Neuroimaging*, Volume 91, Issue 3, Pages 155-162.
- [2] Brown, R. B., and Steckler, (1995). Prescriptions maps for spatially variable herbicide application in no-till corn, *Transactions of the American Society of Agricultural Engineers*, Volume 38, No. 6, pp. 1659-1666.
- [3] Chaisattapagon, C., and Zhang, (1995). Effective criteria for weed identification in wheat fields using machine vision, *Transactions of the ASAE (Trans. ASAE)* ISSN 0001-2351 CODEN TAAEAJ *Transactions of the American Society of Agricultural Engineers*, 1995, Volume 38, pp. 965-974.
- [4] Franz, H., and Armanini, (1995). Characterization of a multi-component receptor for GDNF, *Letters to nature*, *Nature* 382, doi: 10.1038/382080a0, pp. 80-83.
- [5] Stafford, J. V., and Benloch, (1997). Machine assisted detection of weeds and weed patches. In STAFFORD, J. V. (ed): *Precision*

Agriculture '97. Oxford, BIOS Scientific Publishers Limited, pp. 511-518.

- [6] Swain, K. C. and H. P. W. Jayasuriya (2007). Land-use suitability evaluation criteria for precision agriculture adoption in a moderately yielding soybean cropping area in Thailand, *Asia-Pacific Journal of Rural Development*, 17(1):113-125.
- [7] Swain, K. C., Jayasuriya, H. P. W. and V. M. Salokhe (2007). Low altitude remote sensing (LARS): A potential substitution to satellite based remote sensing for precision agriculture adoption in fragmented and diversified farming conditions, *Agricultural Engineering International: the CIGR Ejournal*, Invited Overview No. 12, Volume IX. September, 2007.
- [8] Samseemoung, G., Hemantha P. W. Jayasuriya and Peeyush Soni, (2011). Oil palm pest infestation monitoring and evaluation by helicopter-mounted, low altitude remote sensing platform, *J. Appl. Remote Sens.* Vol. 5, pp. 053540 (Aug 04, 2011); doi:10.1117/1.3609843
- [9] Samseemoung, G., Peeyush Soni, Hemantha P. W. Jayasuriya and Vilas M. Salokhe, (2012). Application of low altitude remote sensing (LARS) platform for monitoring crop growth and weed infestation in a soybean plantation, *Precision Agric.*, Springer Science+Business Media, LLC 2012, Published online: 14 July 2012; doi:10.1007/s11119-012-9271-8.
- [10] Tillett, N. D., Marchant, J. A., and Hague, (1996). *Autonomous plant scale crop protection*, AgEng, Madrid.



-
- [11] Tangwongkit, R., Salokhe, V., and H. P. W. Jayasuriya (2006). "Development of a Tractor Mounted Real-time, Variable Rate Herbicide Applicator for Sugarcane Planting". Agricultural Engineering International: the CIGR Ejournal. Manuscript PM 06 009. Volume VIII. June, 2006